

تحلیل اثر هندسی شبکه بر پاسخ مودال سازه استوانه‌ای مشبک کامپوزیتی به روش تجربی و عددی

محمد رضا زمانی^۱، سید محمد رضا خلیلی^۲

۱ دانشجوی دکترای مهندسی مکانیک، دانشگاه صنعتی خواجه نصیرالدین طوسی، تهران، a_mrzamani@mut.ac.ir

۲ استاد، دانشکده مهندسی مکانیک، دانشگاه صنعتی خواجه نصیرالدین طوسی، تهران

تاریخ دریافت: ۱۳۹۴/۱۱/۱۲

تاریخ پذیرش: ۱۳۹۶/۰۲/۱۵

چکیده

در این مقاله، اثر هندسه شبکه بر پاسخ آنالیز مودال در سازه استوانه‌ای مشبک کامپوزیتی مطالعه شده است. سازه استوانه‌ای مورد مطالعه دارای دو نوع شبکه شش‌ضلعی و مثلثی است که از کامپوزیت کربن / اپوکسی ساخته شده است. برای رسیدن به سازه‌ای با دقت ابعادی بالا، سازه با استفاده از نوعی قالب منعطف بسیار دقیق به روش رشتہ‌پیچی ساخته شده و پس از پایان فرایند پیچش و تثبیت پیکره کلی آن، در داخل کوره پخت شده است. در ادامه رفتار ارتعاشی سازه با انجام آنالیز مودال تجربی بهمنظور تعیین فرکانس‌های طبیعی و شکل مودهای مختلف آن در شرایط تکیه‌گاهی آزاد - آزاد مورد تحلیل قرار گرفته است. همچنین با استفاده از روش المان محدود رفتار ارتعاشی سازه برای شرایط تکیه‌گاهی فوق بررسی و نتایج آن با نتایج آنالیز مودال تجربی مقایسه شده است. نتایج تحلیل‌های فوق نشان می‌دهند سازه با شبکه مثلثی در شرایط تکیه‌گاهی مختلف فرکانس‌های طبیعی بالاتری نسبت به سازه با شبکه شش‌ضلعی دارد. در ادامه، اثر انواع دیگر شرایط تکیه‌گاهی (گیردار - آزاد و گیردار - گیردار) نیز به روش المان محدود بر ارتعاشات آزاد سازه و تأثیر آنها بر فرکانس‌های طبیعی و شکل مودها مطالعه شده است. مقایسه نتایج تحلیل عددی و آنالیز مودال تجربی، گویای هماهنگی و نزدیک بودن مقادیر نتایج حاصل از آنها و همچنین تصدیقی بر کارآمد بودن روش تحلیل المان محدود به کار رفته در این پژوهش می‌باشد.

واژگان کلیدی

استوانه مشبک کامپوزیتی، آنالیز مودال، ارتعاشات آزاد، المان محدود

۱. مقدمه

سازه‌ها در شرایط کاربردی است که تحلیل‌های دینامیکی، استاتیکی از جمله آنهاست. ویژگی سفتی و استحکام ویژه بالای

توسعه فناوری سازه‌های مشبک کامپوزیتی بهمنزله ساختارهای مستحکم و سبک برای کاربردهای هوافضایی، مستلزم تحلیل این

استرینگ برای شرایط مرزی مختلف را مطالعه کردند [۶]. از نتایج مورد توجه این تحقیق بررسی حضور رینگ و استرینگ و اثر آن بر نتایج ارتعاشی است که نتایج نشان داد نقش آنها در تحمل بارهای زیاد و رفتار دینامیکی سازه بسیار مؤثر بوده است. جعفری و باقری (۲۰۰۶) ارتعاشات آزاد پوسته‌های استوانه‌ای با تقویت‌کننده‌های محیطی، مانند رینگ‌های با تقویت‌کننده‌های غیربکنوخت گریز از مرکز و فاصله‌های تقویت‌کننده نابرابر را تحلیل نمودند [۷]. این مطالعه با استفاده از روش‌های تئوری، تجربی و اجزای محدود انجام شده است. در حل بهروش ریتز تقویت‌کننده‌ها به عنوان اجزای گسسته در نظر گرفته شده‌اند. نتایج فرکانس‌های طبیعی برای پوسته‌های استوانه‌ای تقویت‌شده با شرایط تکیه‌گاهی ساده و فاصله برابر رینگ‌ها با دیگر نتایج تئوری و تجربی مقایسه شده‌اند که توافق خوبی بین آنها مشاهده می‌شود.

واسیلیو (۲۰۰۶) طراحی، ساخت و تحلیل سازه‌های مشبک کامپوزیتی مورد کاربرد در صنایع هواضما را بررسی کرد و نتیجه آن بود که راندمان وزنی این سازه‌ها به مراتب بیشتر از سازه‌های مشابه با تقویت‌کننده‌های غیرکامپوزیتی است [۸]. یزدانی و رحیمی (۲۰۱۰) به روش تجربی آثار تغییرات شکل شبکه و تعداد ریب‌های تقویت‌کننده مارپیچ، بر باربری پوسته‌های استوانه‌ای تقویت‌شده تمام کامپوزیتی را بررسی نموده‌اند [۹]. نتایج نشان داد که برای استفاده بهینه از پوسته‌های تقویت‌شده به حداقل مقداری از چگالی شبکه نیاز است و در بارگذاری محوری، پوسته‌های تقویت‌شده با شبکه‌های لوزی‌شکل بهترین عملکرد را دارند.

در تحقیق هایبریچت (۲۰۰۲) برای پیش‌بینی رفتار سازه‌های مشبک، با ارائه مدلی از تغییر شکل سازه مشبک در فضای شکست از کدهای کامپیوترا استفاده شده است [۱۰]. همچنین بررسی پارامتریک روی انواع سازه‌های مشبک و هندسه‌ها انجام شده است.

در این پژوهش، تحلیل عددی و تجربی آنالیز مodal سازه استوانه‌ای مشبک کامپوزیتی روی پاسخ‌های فرکانسی و شکل مودهای سازه انجام شده است. مواد سازه مذکور کامپوزیت مشتمل از کربن / اپوکسی است که به روش رشته‌پیچی ساخته شده است. همچنین نتایج حاصل از آنالیز مodal تجربی با نتایج حاصل از تحلیل عددی مقایسه شده‌اند. در نهایت سازه مذکور در شرایط مختلف استاتیکی و دینامیکی مورد ارزیابی قرار می‌گیرد.

مواد کامپوزیتی از مشخصه‌های اساسی رویکرد به این مواد در طراحی سازه‌های هواضماست که سازه‌های مشبک کامپوزیتی با برخورداری از این ویژگی‌ها به منزله ساختارهایی کارآمد در این خصوص برای تحمل بارهای استاتیکی و دینامیکی بهشمار می‌آیند. این سازه‌ها متشکل از ریب‌های مارپیچ و محیطی با چیدمان‌های متنوع است که تشکیل شبکه‌ای یکپارچه با الگوهای مختلف می‌دهند؛ همچنین در برخی از کاربردهای خاص یک یا دو پوسته خارجی یا داخلی طی فرایند ساخت ایجاد و شبکه ریب‌ها را احاطه می‌کنند. نقش اصلی در تحمل بارهای استاتیکی و دینامیکی در این گونه سازه‌ها بر عهده شبکه ریب‌هاست، به همین علت بازدهی سازه‌هایی با این ساختار در مقایسه با دیگر سازه‌ها به مرتب بیشتر است. تحلیل آنالیز مodal به منظور یافتن مشخصات و خواص ذاتی یک سیستم در قالب فرکانس‌های طبیعی، خرایب دمپینگ و شکل مودها دینامیکی آنها بسیار حائز اهمیت است.

تحقیقات بسیاری در زمینه‌های بالا صورت گرفته است. جیانگ (۱۹۹۴) با استفاده از روش عددی، تحلیل ارتعاشات آزاد پوسته‌های استوانه‌ای با تقویت‌کننده‌های متعدد را مورد مطالعه قرار داد [۱]. این تکنیک در قالب یک روش المان محدود ویژه توسعه داده شد. همچنین وی با این روش توانست زمان لازم برای همگرایی پاسخ‌ها را کاهش دهد. چاکراورتی و همکاران [۳-۲] به شیوه تحلیل اجزای محدود، ارتعاشات آزاد پوسته کامپوزیتی لایه‌ای با دو انتخاب تعیین‌یافته را با استفاده از المان‌های محدود ایزوپارامتریک چهارضلعی منحنی هشت‌گرهای بررسی نموده‌اند. در این پژوهش، تغییر شکل پرشی مرتبه اول برای پوسته‌های کم عمق و نازک در نظر گرفته شده است. لاکشمینارایانا (۱۹۹۲) ارتعاشات آزاد پوسته‌های استوانه‌ای دایروی با استفاده از روش اجزای محدود را مورد مطالعه قرار دادند [۴]. در پژوهش مورد نظر، اثر ناهمسانگردی بر فرکانس‌های مربوط به مودهای مختلف و نمایش شکل مودهای مختلف بررسی شده‌اند. همتزداد و همکاران (۲۰۱۴) تحلیل یکپارچه رفتار ارتعاشی پوسته‌های استوانه‌ای کامپوزیتی تقویت‌شده مشبک با ریب‌های موجی را مورد مطالعه قرار دادند [۵]. آنها در بررسی‌های خود از روش آغشته‌سازی برای افزودن اثر سفتی تقویت‌کننده‌ها به سفتی کل پوسته و تعیین پارامتر سفتی معادل بهره برده‌اند. اگل (۱۹۶۸) تحلیل ارتعاشات آزاد یک پوسته استوانه‌ای تقویت‌شده با رینگ و

تا آخرین شیار مارپیچ ادامه می‌یابد. مرحله دوم رشته‌پیچی، که همان تکرار کامپیوتراست، اجرا می‌شود؛ بهطوری که ابتدا الیاف به داخل شیارهای محیطی و سپس مارپیچ هدایت می‌شوند. گفتنی است تمامی مراحل رشته‌پیچی الیاف داخل شیارها در این پژوهش به صورت بی‌وقفه و پیوسته انجام شده است. این مراحل چندین بار تکرار می‌شوند تا ضخامت ریبها به مقدار مطلوب طراحی شده برسند (شکل ۲).



شکل ۲. فرایند رشته‌پیچی و ساخت نمونه

پس از پایان مراحل پیچش، مجموعه قطعه و مندل در حداقل مدت زمان لازم (که در طراحی تعیین شده) تحت چرخش آزاد قرار می‌گیرد تا ساختار شبکه تشییت شود. در مرحله بعد قطعه به همراه مندل داخل کوره قرار می‌گیرد. باید توجه داشت که قطعه در هنگام پخت باید حول محور طولی خود چرخش داشته باشد تا رزین از داخل شیار خارج نشود و نیز یکنواختی و تقارن پخت و انتقال حرارت در محیط قطعه میسر گردد. پس از کامل شدن سیکل پخت، قطعه از داخل مندل به بیرون کشیده می‌شود. خواص مکانیکی ساختارهای شبکه متأثر از پارامترهای هندسی می‌باشند که در شکل ۳ معرفی شده‌اند. همچنین در جدول ۱ پارامترهای هندسی سازه و شبکه آن در نمونه‌های ساخته شده ارائه شده است.

۳. طراحی مدل و شبیه‌سازی

تحلیل ارتعاشی سازه کامپوزیتی مورد نظر، به کمک نرم‌افزار آباکوس نسخه ۶-۱۲ انجام شده است. مدل هندسی جسم به صورت سه‌بعدی ایجاد شده است. با توجه به آنکه ضخامت سازه نسبت به سایر ابعاد آن بسیار کوچک است، مدل ایجاد شده به صورت پوسته‌ای و تغییرشکل پذیر در نظر گرفته شده است. در

در پژوهش حاضر ایجاد مدل قابل اعتماد عددی برای تحلیل دینامیکی سازه کاربردی طراحی و ساخته شده مد نظر بوده است. مرور پیشینه‌های بررسی شده حاکی از آن است که در زمینه آنالیز مودال سازه‌های مشبک با ساختارهای هندسی مختلف شبکه تحلیل جامعی صورت نگرفته است. لذا در این مقاله به صورت جامع به این تحلیل پرداخته شده است.

۲. فرایند ساخت نمونه‌ها

۲-۱. تهیه قالب

در فرایند رشته‌پیچی برای ساخت قطعات به یک مندل^۱ نیاز است که پیچش الیاف روی آن انجام گیرد. در این پژوهش با رویکرد افزایش کیفیت ساخت نمونه‌ها و همچنین کاهش هزینه‌ها از یک قالب منعطف شیاردار استفاده شده است. قالب منعطف شیاردار برای شکل دهی هندسه شبکه مورد نظر طراحی و ساخته شده که نمایی از دو نوع قالب با شبکه هندسی مختلف آن در شکل ۱ نمایش داده شده است.

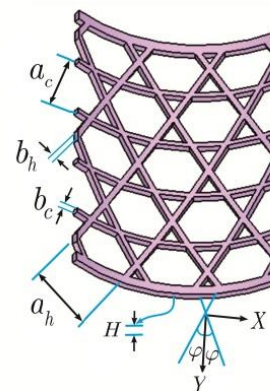


شکل ۱. قالب‌های منعطف شیاردار برای دو نوع شبکه شش‌ضلعی و مثلثی

۲-۲. رشته‌پیچی و ساخت نمونه‌ها

ساخت نمونه‌های استوانه‌ای مشبک کامپوزیتی با دستگاه رشته‌پیچی چندین مرحله دارد اولین مرحله آماده‌سازی حمام رزین می‌باشد. چون دمای رزین در حین فرایند رشته‌پیچی، از جمله پارامترهای مؤثر در افزایش استحکام سازه است، باید این پارامتر کنترل شود. همچنین یکی دیگر از پارامترهای مؤثر در این فرایند، کشش الیاف در حین فرایند است که تأثیر بسزایی بر استحکام مکانیکی سازه دارد و این پارامتر نیز باید کنترل شود. به‌منظور انجام فرایند و هدایت الیاف آغشته شده به رزین در شیارهای حلقوی و مارپیچ قالب، از برنامه کامپیوتراست استفاده شده است تا هدایت دقیق الیاف آغشته شده به رزین در داخل شیارها و در نهایت کیفیت بالای ساخت قطعات حاصل شود. در ابتدا یک لایه الیاف آغشته به رزین در داخل شیارهای محیطی مندل پیچیده می‌شود، سپس پیچش الیاف در داخل شیارهای مارپیچی شروع و

این پژوهش، همانگونه که بیان شد، در ساخت سازه از الیاف پیوسته تکجهته آغازته به رزین بهروش رشته‌پیچی استفاده شده است. بهمین دلیل در این شبیه‌سازی الیاف تکجهته، با مشخصات فیزیکی و مکانیکی ارائه شده در جدول ۲، بهمراه چهتگیری آنها در سازه، برای مدل تعریف شده است. در این پژوهش خواص مکانیکی و فیزیکی اعمال شده در تحلیل‌های عددی (جدول ۲)، از طریق آزمون کشش استاندارد تعیین خواص ماده کامپوزیتی (ASTM-D2343) استخراج شده است. نمونه استاندارد مورد استفاده در آزمون فوق از مواد اصلی به کار رفته در سازه ساخته شد. همچنین شرایط تکیه‌گاهی مختلفی برای سازه در تحلیل در نظر گرفته شده است. برای مشبک سازه نیز از المان‌های S4R (المان‌های پوسته‌ای چهارگوش مرتبه یک) استفاده شده است.



شکل ۳. پارامترهای هندسی شبکه سازه

جدول ۱. مشخصات هندسی سازه و شبکه آن

شش ضلعی و مثلثی	شکل شبکه
۳۰۰	ارتفاع سازه (میلی‌متر)
۱۵۰	شعاع سازه (میلی‌متر)
۵۶/۷۳	فاصله ریب‌های هلیکال ^۳ (میلی‌متر)
۶۰	فاصله ریب‌های حلقوی ^۳ (میلی‌متر)
۵×۴	مساحت سطح مقطع ریب‌ها (میلی‌متر مربع)
۱۵	تعداد ریب‌های مارپیچ (جفت)
۲۸	زاویه ریب‌های مارپیچ (درجه)

جدول ۲. مشخصات فیزیکی و مکانیکی نمونه‌های ساخته شده سازه براساس انجام آزمون استاندارد کشش

خواص الاستیک مواد در ناحیه ریب‌ها				
ρ (kg/m^3)	E_{11} (Gpa)	E_{22} (Gpa)	ν_{12}	G_{12} (Gpa)
۱۶۰۰	۱۰۰	۸	.۰/۳۱	۴/۶

۴. آنالیز مودال
از جمله تست‌های مهم برای حصول اطمینان از صحت ساخت و کارکرد قطعات برای کاربردهای دینامیکی، تست مودال آنهاست. در این پژوهش، هدف از انجام تست مودال تعیین رفتار و مشخصات دینامیکی دو نوع سازه مشبك کامپوزیتی با شبکه‌های مختلف هندسی (شش‌ضلعی و مثلثی) بدون رویه است. پارامترهای دینامیکی در این تست شامل فرکانس‌های طبیعی و شکل مدهای مربوطه و میزان ضربه میرایی می‌باشند. انجام تست مودال روی هر قطعه مکانیکی متفاوت وتابع شرایط مختلفی است که مهم‌ترین آنها بهطور کلی شرایط نصب و بهره‌برداری و هندسه جسم است. در پژوهش حاضر، با توجه به کم‌بودن جرم سازه، آزمایش مودال با اعمال ضربه توسط چکش انجام شده است. همچنین برای نزدیکشدن به شرایط تکیه‌گاهی آزاد، نمونه سازه مورد آزمایش در حالت آویخته تحت آزمون مودال قرار گرفته است (شکل ۴). برای یافتن شکل مدهای سازه، نکته مهم تعیین موقعیت نصب شتاب‌سنجهاست، که این موقعیت‌ها براساس پیش‌بینی شکل مدها از تحلیل المان محدود تشخیص داده شده‌اند. همچنین شتاب‌سنجه‌ها باید نسبت به محور استوانه مقارن نصب گردند. بهمین ترتیب مطابق تعداد گره‌ها یک مدل‌سازی فیزیکی در نرمافزار انجام می‌شود. کد شناسایی و شماره خروجی پورت دیتالاگر برای هر حسگر، که روی نمونه نصب شده است، در محیط نرمافزار در گره مربوطه تعریف می‌شود. نحوه انجام آزمایش این است که در ۹۶ گره ضربه وارد شده و خروجی ثبت شده و در نرمافزار N-Modal تحلیل می‌شوند. الگوریتم انتخابی آنالیز مودال داده‌ها، روش فضای فرکانسی چندمرجعی برای سیستم‌های چنددورودی-چندخرجی است. مزیت این روش نسبت به سایر روش‌ها، تحلیل سازه‌هایی است که دارای مدهای نزدیک بهمیم یا مدهای تکراری هستند؛ بهطوری‌که با استفاده از این روش بهترین نتایج برای تعیین مشخصات مودال سازه، شامل فرکانس‌های طبیعی، ضربه میرایی و شکل مدها حاصل می‌شود.

۵. نتایج و بحث

۵-۱. نتایج تحلیل المان محدود

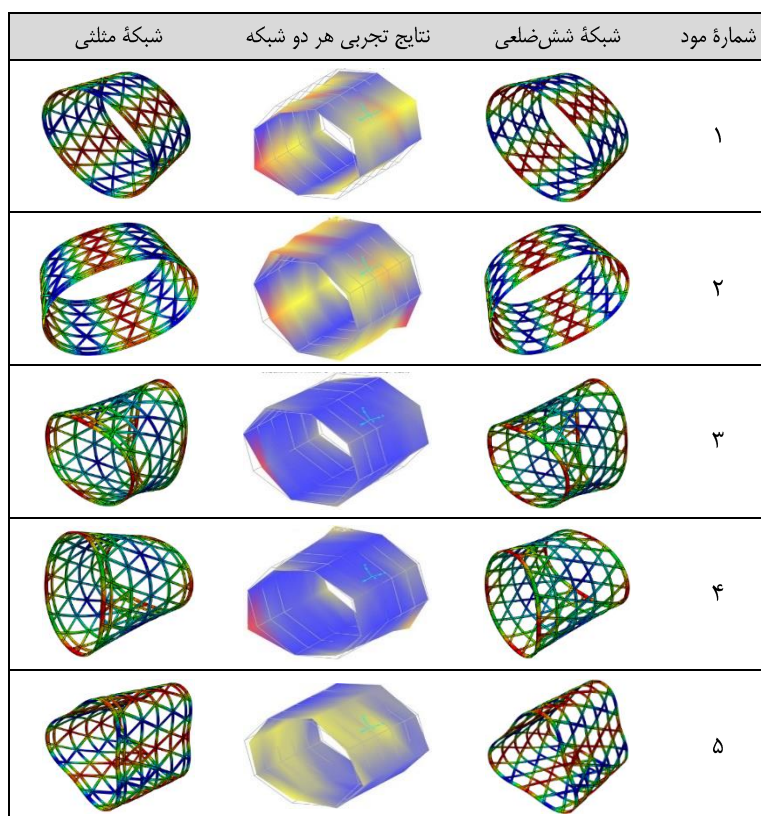
در ابتدا اثر المان‌بندی بر همگرایی مقادیر فرکانس‌های ارتعاشی در مدهای اول تا پنجم بررسی می‌شود. برای این منظور تحلیل‌های متعددی با افزایش تعداد المان‌ها از ۴۲۲۰ تا ۱۵۲۶۰

فرکانس‌های طبیعی سازه برای هر دو نوع شبکه شش‌ضلعی و مثلثی، در مودهای اول تا پنجم در جدول ۳ آمده است. همان‌گونه که مشاهده می‌شود، فرکانس‌های طبیعی سازه با شبکه مثلثی بیشتر از فرکانس‌های سازه با شبکه شش‌ضلعی است. به‌طوری‌که فرکانس‌های طبیعی سازه با شبکه مثلثی در مودهای اول، دوم، سوم، چهارم و پنجم به ترتیب $2/9$, $1/1$, $2/9$, $1/1$ و $2/7$ درصد بیشتر از فرکانس‌های طبیعی سازه با شبکه شش‌ضلعی است. با توجه به اینکه مقادیر جرم‌های دو نوع سازه بسیار نزدیک بهم می‌باشد، علت این امر را می‌توان ناشی از سفتی بیشتر شبکه مثلثی نسبت به شبکه شش‌ضلعی دانست.

انجام شد. با افزایش تعداد المان‌ها نتایج همگرا می‌شوند، اما زمان حل مسئله بهمیزان قابل توجهی افزایش می‌یابد. لذا در اینجا از تعداد 10305 المان به عنوان مناسب‌ترین تعداد المان (برای رسیدن به کمترین مدت زمان حل مسئله با دقت مناسب) استفاده شده است. پس از انجام تحلیل ارتعاشی در نرم‌افزار المان محدود، مقادیر فرکانس‌های طبیعی و شکل مودهای متناظر محاسبه شده‌اند. در شکل ۵، شکل مودهای به دست آمده برای سازه استوانه‌ای مشبک کامپوزیتی برای هر دو شبکه نمایش داده شده است. همان‌گونه که مشاهده می‌شود، نوع و هندسه شبکه سازه تأثیری در شکل مودهای سازه ندارد. همچنین مقادیر



شکل ۴. انجام آنالیز مodal تجربی روی سازه



شکل ۵. شکل مودهای ارتعاشی حاصل از نتایج المان محدود و آنالیز مodal تجربی برای دو نوع شبکه هندسی شش‌ضلعی و مثلثی

نتایج حاکی است سازه مشبک با شبکه مثلثی مقادیر فرکانس‌های بیشتری نسبت به سازه با شبکه شش‌ضلعی دارد. بهطوری‌که نتایج آنالیز مodal تجربی روی سازه نشان می‌دهد فرکانس‌های طبیعی سازه در مودهای اول، دوم، سوم، چهارم و پنجم سازه بهترتیب $+/\pm 1/9$ ، $+/\pm 2/6$ و $+/\pm 1/4$ درصد بیشتر است. همچنین اختلاف میان فرکانس‌های طبیعی به‌دست آمده از نرم‌افزار المان محدود و آنالیز مodal تجربی در مودهای اول تا پنجم در جدول ۳ آمده است. بیشترین اختلاف بین نتایج حاصل از آنالیز مodal تجربی و نتایج المان محدود در محاسبه فرکانس طبیعی سازه، در مود پنجم برابر $11/19$ است و کمترین اختلاف نیز برای فرکانس طبیعی چهارم سازه و برابر $6/16$ مشاهده می‌شود.

۵-۲. نتایج آنالیز مodal تجربی

پس از آماده‌سازی نمونه‌ها، آزمایش آنالیز مodal تجربی انجام می‌شود. همان‌طور که بیان شد، اعمال تحریک اولیه سازه توسط چکش^۴ مخصوص صورت گرفته است. نرم‌افزار آنالیز مodal مورد استفاده برای تعیین توابع پاسخ فرکانسی^۵، تابع مodal کل سازه را با استفاده از توابع پاسخ فرکانسی تمام نقاط ایجاد نموده است. سپس نمودارهای حاصل با استفاده از الگوریتم برآش منحنی در فضای فرکانسی چندمرجعی تحلیل شده و در نهایت ویژگی‌های مodal سازه به‌دست آمده است. مقادیر فرکانس‌های طبیعی برای سازه استوانه‌ای مشبک کامپوزیتی با هر دو نوع شبکه شش‌ضلعی و مثلثی، در مودهای اول تا پنجم در جدول ۳ ارائه شده است.

جدول ۳. فرکانس‌های حاصل از نتایج تحلیل المان محدود و آنالیز مodal تجربی

شماره مود	نوع تحلیل	فرکانس طبیعی سازه با شبکه شش‌ضلعی (هرتز)	فرکانس طبیعی سازه با شبکه مثلثی (هرتز)	اثر شبکه در فرکانس طبیعی سازه
اول	عددی	۱۲۷/۶۶	۱۳۱/۴	$+/\pm 2/9$
	تجربی	۱۴۰/۲۴	۱۴۱/۳	$+/\pm 0/7$
	اختلاف	۱۲۷/۸۹	-٪ ۷	-
دوم	عددی	۱۲۷/۶۶	۱۳۱/۴	$+/\pm 2/9$
	تجربی	۱۴۳/۶۷	۱۴۵/۸	$+/\pm 1/4$
	اختلاف	۱۲۷/۱۱	-٪ ۹/۸	-
سوم	عددی	۱۶۱/۱۷	۱۶۳/۰۸	$+/\pm 1/1$
	تجربی	۱۷۲/۶	۱۷۵/۹	$+/\pm 1/۹$
	اختلاف	۱۶۱/۶	-٪ ۷/۶	-
چهارم	عددی	۱۶۱/۱۷	۱۶۳/۰۹	$+/\pm 1/1$
	تجربی	۱۷۶/۵	۱۸۱/۱	$+/\pm 2/6$
	اختلاف	۱۶۱/۷	-٪ ۱۰/۱	-
پنجم	عددی	۳۵۸/۸۸	۳۶۸/۷۶	$+/\pm 2/7$
	تجربی	۴۰۴/۱۱	۴۰۷/۲	$+/\pm 0/7$
	اختلاف	۳۵۸/۱۹	-٪ ۱۰/۸	-

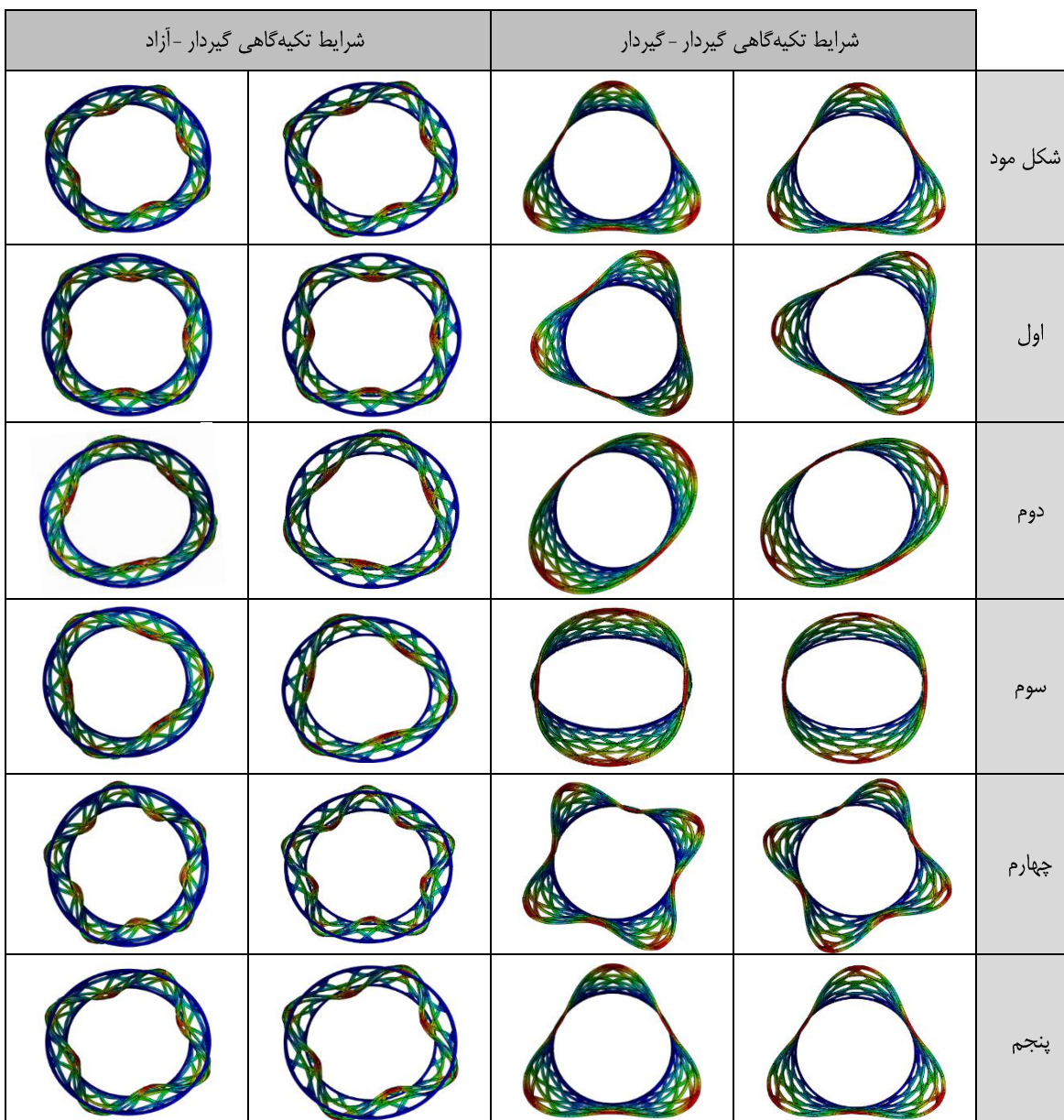
تکیه‌گاهی مختلف کاملاً متفاوت است، اما هندسه شبکه هیچ‌گونه اثری بر این تفاوت‌ها ندارد. در جدول ۴، فرکانس طبیعی سازه با شبکه شش‌ضلعی و مثلثی در شرایط تکیه‌گاهی گیردار - آزاد و گیردار - گیردار در آنالیز تجربی ارائه شده است. بهطور کلی فرکانس‌های طبیعی سازه در شرایط تکیه‌گاهی گیردار - گیردار بیشتر از سایر شرایط تکیه‌گاهی می‌باشد. همچنین اثر هندسه شبکه بر فرکانس‌های طبیعی سازه بهترتیب در شرایط تکیه‌گاهی گیردار - آزاد، گیردار - گیردار و آزاد - آزاد بیشتر است.

۵-۳. اثر شرایط تکیه‌گاهی بر پاسخ ارتعاشی سازه

بنابراین محدودیت‌های عملی انجام آنالیز مodal تجربی برای انواع شرایط تکیه‌گاهی و بهمنظور توسعه و تکمیل این پژوهش، با توجه به نتایج مثبت اعتبارسنجی تحلیل المان محدود انجام‌شده توسط آزمون‌های تجربی، در این بخش تحلیل مodal سابر شرایط تکیه‌گاهی مبتنی بر روش عددی انجام شده است. در شکل ۶ شکل مودهای مختلف سازه در شرایط تکیه‌گاهی گیردار - آزاد و گیردار - گیردار آمده است. شکل مودهای سازه در شرایط

جدول ۴. فرکانس طبیعی سازه با شبکه‌های شش ضلعی و مثلثی در شرایط تکیه‌گاهی گیردار- آزاد و گیردار- گیردار در تحلیل المان محدود

شرایط تکیه‌گاهی گیردار- گیردار		شرایط تکیه‌گاهی گیردار- آزاد		شماره مود
شبکه مثلثی	شبکه شش ضلعی	شبکه مثلثی	شبکه شش ضلعی	
۱۰۷۶/۸	۴۷۶/۸۶	۱۰۷۱/۱	۴۵۷/۰۷	اول
۱۰۷۶/۹	۴۷۶/۸۹	۱۰۷۱/۹	۴۵۷/۰۸	دوم
۱۱۹۷/۹	۵۴۲/۹۵	۱۱۴۱/۵	۵۲۷/۵۷	سوم
۱۱۹۸	۵۴۳/۰۵	۱۱۴۲	۵۲۸	چهارم
۱۲۰۷/۰۵	۷۳۰/۷۸	۱۲۰۴/۵	۷۰۹/۱	پنجم



شکل ۶. شکل مدهای ارتعاشی حاصل از تحلیل عددی برای شرایط تکیه‌گاهی گیردار- آزاد و گیردار- گیردار

۶. نتیجه‌گیری

فرکانس طبیعی سازه نیز افزایش یافته و این نتیجه در هر دو روش تحلیل تجربی و عددی ارائه شده در جداول مربوط کاملاً مشهود است. نتایج نشان داده‌اند که ایجاد مدل و شبیه‌سازی عددی سازه از دقت بالایی برخوردار بوده و از آن می‌توان به عنوان یک راهکار عملی و کم‌هزینه در تحلیل آنالیز مodal سازه‌های مشبک کامپوزیتی بهره جست. تطابق و هماهنگی خوب نتایج تحلیل‌های مodal تجربی و عددی علاوه بر تصدیق مدل‌سازی مناسب و دقیق عددی، به صورت متقابل انتخاب روش مناسب ساخت و دقت در طراحی و ساخت نمونه‌های تجربی و همچنین پیاده‌سازی آزمون‌های تجربی استاندارد را صحه می‌گذارد. اگرچه می‌توان برای مدل‌سازی عددی از روش‌هایی چون Wire-frame، Beam یا Solid استفاده نمود. اما این روش‌ها قادر دقت مطلوب بوده و زمان حل آنها بسیار طولانی است. از این‌رو در این بررسی از روش تحلیل عددی مبتنی بر المان Shell در نرم‌افزار Abaqus استفاده شده است. در تحقیق حاضر که از دو جنبه تحلیل عددی و تجربی (با ساخت و تست نمونه‌های متعدد و متنوع) صورت گرفته است، برخلاف انتظار و پیش‌بینی سایر پژوهش‌ها، وجود پوسته یکپارچه روی شبکه ریب‌ها سهم بسزایی در افزایش استحکام و چگونگی رفتار دینامیکی سازه داشته است که نتایج این تحقیق در مقالات دیگر محقق ارائه شده است.

در این مقاله، تحلیل مodal استوانه‌های مشبک کامپوزیتی با دو هندسه شبکه شش‌ضلعی و مثلثی به روش تجربی و عددی برای شرایط مرزی مختلف بررسی شد. ایجاد مدل پیشگو و قابل اعتماد عددی و روش مدل‌سازی و تحلیل مodal عددی و صحه‌گذاری آن با انجام تحلیل مodal تجربی برای سازه با هندسه خاص مورد تحقیق از دستاوردهای این پژوهش است. نتایج نشان داده‌اند که هندسه شبکه سازه استوانه‌ای مشبک کامپوزیتی بر مقادیر فرکانس‌های طبیعی سازه تأثیرگذار هستند. به طوری که نتایج آنالیز مodal تجربی و تحلیل عددی بر روی سازه با هندسه شبکه مشبک نشان داد که مقادیر فرکانس‌های طبیعی سازه با هندسه شبکه مثلثی بالاتر از مقادیر فرکانس‌های طبیعی سازه با هندسه شبکه شش‌ضلعی است که این نتیجه ناشی از سفتی بیشتر شبکه مثلثی نسبت به شبکه شش‌ضلعی است. از طرفی شکل مدهای سازه در شرایط تکیه‌گاهی مختلف کاملاً متفاوت می‌باشد، اما هندسه شبکه هیچ‌گونه اثری در این تفاوت ندارد. همچنین اثر هندسه شبکه بر فرکانس‌های طبیعی سازه بهترتبیب در شرایط تکیه‌گاهی گیردار - آزاد، گیردار - گیردار و آزاد - آزاد بیشتر است. این نتیجه را می‌توان ناشی از تأثیر شرایط مرزی بر خواص و پارامترهای مؤثر در تحلیل مodal بهویژه بر سفتی سازه نسبت داد؛ به طوری که متناسب با افزایش سفتی سازه ناشی از هر یک از شرایط مرزی،

۷. مأخذ

- [1] J. Jiang, M. Olson, Vibration analysis of orthogonally stiffened cylindrical shells using super finite elements, *Journal of sound and vibration*, vol. 173, 1994, pp. 73-83.
- [2] D. Chakravorty, J. Bandyopadhyay, P. Sinha, Free vibration analysis of point-supported laminated composite doubly curved shells-A finite element approach, *Computers & structures*, vol. 54, 1995, pp. 191-198.
- [3] D. Chakravorty, J. Bandyopadhyay, P. Sinha, Finite element free vibration analysis of doubly curved laminated composite shells, *Journal of Sound and Vibration*, vol. 191, 1996, pp. 491-504.
- [4] H. Lakshminarayana, K. Dwarakanath, Free vibration characteristics of cylindrical shells made of composite materials, *Journal of sound and vibration*, vol. 154, 1992, pp. 431-439.
- [5] M. Hemmatnezhad, G. Rahimi, R. Ansari, On the free vibrations of grid-stiffened composite cylindrical shells, *Acta Mechanica*, vol. 225, 2014, pp. 609-623.
- [6] D. Egle, J. Sewall, An analysis of free vibration of orthogonally stiffened cylindrical shells with stiffeners treated as discrete elements, *AIAA Journal*, vol. 6, 1968, pp. 518-526.
- [7] A. Jafari, M. Bagheri, Free Vibration of Rotating Ring Stiffened Cylindrical Shells with Non-Uniform Stiffener Distribution, *J Sound Vib*, vol. 296, 2006, pp. 353-376.
- [8] V. V Vasiliev, A. F. Razin, Anisogrid composite lattice structures for spacecraft and aircraft

- applications, *Composite Structure*, vol. 76, no. 1, 2006, pp. 182–189.
- [9] M. Yazdani, G. H. Rahimi, The effects of helical ribs' number and grid types on the buckling of thin-walled GFRP-stiffened shells under axial loading, *J. Reinf. Plast. Compos.*, vol. 29, no. 17, 2010, pp. 2568–2575.
- [10] S. M. Huybrechts, et al., Manufacturing theory for advanced grid stiffened structures. *Composites Part A: Applied Science and Manufacturing*, vol. 33, 2002, pp. 155-161.

پی‌نوشت

-
1. mandrel
 2. helical
 3. hoop
 4. hammer
 5. frequency response function (FRF)